

COMITATO NAZIONALE PER L'ENERGIA NUCLEARE
Laboratori Nazionali di Frascati

LNF - 65/6

26 Febbraio 1965.

F. Knoke : FOTOPRODUZIONE DI K^+ DA NUCLEO COMPLESSO.

(Nota interna n. : 272)

Laboratori Nazionali di Frascati del CNEN
Servizio Documentazione

LNF-65/6

Nota interna: n. 272
26 Febbraio 1965

F. Knoke: FOTOPRODUZIONE DI K^+ DA NUCLEO COMPLESSO

INTRODUZIONE

In vista di possibili esperimenti sulla fotoproduzione di K^+ da nucleo da farsi col fascio di fotoni di bremsstrahlung prodotti nel sincrotrone di Frascati, sembra interessante calcolare la distribuzione spettrale di K^+ nel laboratorio in funzione dell'angolo di emissione e dell'energia dei fotoni incidenti. Il problema è stato già affrontato da alcuni autori⁽¹⁾ ma solo in maniera qualitativa (elemento di matrice di fotoproduzione fenomenologico; distribuzione dei momenti di nucleoni nel nucleo del tipo di Fermi o Gauss; nessuna correzione degli effetti di interazione secondaria del K^+). In questo lavoro noi calcoliamo, invece, l'elemento di matrice di fotoproduzione nell'ipotesi di impulse-approximation, mentre, per quanto riguarda la correzione alla sezione d'urto differenziale di fotoproduzione dovuta agli effetti di interazione K^+ -nucleo, viene discussso l'effetto del potenziale ottico, con cui si rappresenta l'interazione K^+ -nucleo, sulla densità di distribuzione di momenti dei nucleoni nel nucleo.

1) - CINEMATICA DEL PROCESSO $\gamma + p \rightarrow K^+ + \Lambda$

Consideriamo il processo "libero"

$$(1-1) \quad \gamma + p \rightarrow K^+ + \Lambda$$

Siano $K = 4$ - impulso del γ

$q = 4$ - impulso del K^+

$p_1 = 4$ - impulso del protone

$p_2 = 4$ - impulso dell'iperone.

Nella metrica da noi usata è:

$$(a, b) = a_o b_o - \vec{a} \cdot \vec{b}; \quad \gamma_K^2 = -1 \quad (K = 1, 2, 3); \quad \gamma_o^2 = 1$$
$$\gamma_K^+ = -\gamma_K^-; \quad \gamma_o^+ = \gamma_o^-; \quad \gamma_K^+ = \gamma_o^- \gamma_K^- \gamma_o^+$$

2.

Nell'ipotesi di "impulse approximation"⁽²⁾ l'elemento di matrice per il processo $\gamma + X_A^Z \rightarrow K^+ + 1 + X_{A-1}^{Z-1}$ si scrive:

$$(1.2) \quad \langle \phi_g, \psi_f | T | \phi_g, \psi_i \rangle = \langle \phi_g, \psi_f | \sum_{i=1}^z T_i | \phi_g, \psi_i \rangle$$

dove: T_i è l'operatore di fotoproduzione che agisce sull'iesimo protone; ϕ_g e ϕ_g sono le funzioni d'onda del γ e del mesone; ψ_i e ψ_f sono le funzioni d'onda di Slater degli $Z+N$ fermioni iniziali e $(Z-1)+N+1$ fermioni finali

$$\psi_i = \frac{1}{\sqrt{z!}} \begin{vmatrix} \psi_{n_1}(1) & \dots & \psi_{n_1}(2) \\ \psi_{n_2}(1) & \dots & \\ \vdots & & \\ \psi_{n_z}(1) & \dots & \psi_{n_z}(2) \end{vmatrix}$$

(1.3)

$$\psi_f = \frac{1}{\sqrt{z!}} \sum_{j=1}^z a_j \begin{vmatrix} \psi_{n_1}(1) & \dots & \psi_{n_1}(2) \\ \psi_{n_{j-1}}(1) & \dots & \psi_{n_{j-1}}(2) \\ \psi_{n_j}(1) & \dots & \psi_{n_j}(2) \\ \psi_{n_{j+1}}(1) & \dots & \psi_{n_{j+1}}(2) \\ \vdots & & \\ \psi_{n_z}(1) & \dots & \psi_{n_z}(2) \end{vmatrix}$$

$\psi_{n_i}(1)$ è la funzione d'onda dei protoni all'interno del nucleo nello stato n_i ; ψ_{p_2} è la funzione d'onda dell'iperone uscente; a_j è legato alla probabilità che il protone che interviene nel processo si trovi nello stato j . Nelle (1-3) abbiamo tralasciato di scrivere le funzioni d'onda relative ai neutroni, che, per la ortonormalità delle ψ_{n_i} , non intervengono nel calcolo della (1-2).

Sviluppando la (1-2) si ottengono termini di 2 tipi:

$$a_j \langle \phi_g, \psi_f | T_i | \phi_g, \psi_i \rangle = a_j \langle \phi_g, \psi_{p_2}(1) | T_i | \phi_g, \psi_{n_1}(1) \rangle$$

$$\begin{aligned}
 & \text{ii) } a_i \langle \phi_q, \frac{1}{\sqrt{z!}} \left| \begin{array}{c} |\psi_{p_2}(1) \dots \psi_{p_2}(z)| \\ | \vdots | \\ |\psi_{n_2}(1) \dots \psi_{n_2}(z)| \end{array} \right| T_2 | \phi_j, \frac{1}{\sqrt{z!}} \left| \begin{array}{c} |\psi_{n_1}(1) \dots \psi_{n_1}(z)| \\ | \vdots | \\ |\psi_{n_2}(1) \dots \psi_{n_2}(z)| \end{array} \right| \right\rangle = \\
 & = a_i \langle \phi_q, \psi_{n_2}(2) / T_2 / \phi_j, \psi_{n_2}(2) \rangle \cdot \langle \psi_{p_2}(1) / \psi_{p_2}(1) \rangle = 0
 \end{aligned}$$

In definitiva

$$\langle \phi_q, \psi_f / T / \phi_j, \psi_i \rangle = \langle q, p_2 / T / k, \psi_p \rangle$$

dove $\psi_p = \sum_{i=1}^z a_i \psi_{n_i}$

Nell'ipotesi di "impulse approximation" il fotone interagisce con uno solo dei protoni all'interno del nucleo che passerà da uno stato iniziale legato $|q, p_2\rangle = \sum_i a_i |\psi_i\rangle$ (dove con i si indicano i livelli occupati dai protoni) ad uno stato finale libero $|p_2\rangle$.

L'elemento di matrice di fotoproduzione sarà:

$$\begin{aligned}
 \langle q, p_2 / T / k, \psi_p \rangle &= \sum_{i=1}^z a_i \langle q, p_2 / T / k, \psi_i \rangle = \\
 (1.2') \quad &= \sum_{i=1}^z a_i \langle p_1 / \psi_i \rangle \langle q, p_2 / T / k, p_1 \rangle
 \end{aligned}$$

avendo fatto uso della completezza degli stati di protone libero $|p_1\rangle; \langle p_1 | \psi_i \rangle$ è l'ampiezza di probabilità che il protone nello stato $|\psi_i\rangle$ abbia impulso p_1 mentre $\langle q, p_2 / T / p_1, k \rangle$ è l'elemento di matrice di fotoproduzione tra stati liberi.

Dalla ortonormalità delle $|\psi_i\rangle$ si ha:

$$\begin{aligned}
 (1.4) \quad & |\langle q, p_2 / T / k, \psi_p \rangle|^2 = \sum_{i=1}^z \sum_{j=1}^z a_i \langle p_1 | \psi_i \rangle \langle q, p_2 / T / p_1, k \rangle \langle p_1 | T^\dagger | q, p_2 \rangle \cdot \\
 & \cdot a_j^* \langle \psi_j | p_1 \rangle = \sum_{i=1}^z |a_i|^2 |\langle p_1 | \psi_i \rangle|^2 |\langle q, p_2 / T / p_1, k \rangle|^2 = z \rho(p_1) |q, p_2 / T / p_1, k|^2
 \end{aligned}$$

dove:

$$(1.5) \quad \rho(p_1) = \frac{1}{z} \sum_{i=1}^z |a_i|^2 / |\langle p_1 | \psi_i \rangle|^2$$

è la densità "normalizzata"⁽³⁾ dei momenti dei protoni all'interno del nucleo.

La sezione d'urto differenziale di fotoproduzione da nucleo complesso di K^+ di impulso q emessi nella direzione $-\Omega_q$ rispetto alla direzione dei fotoni incidenti⁽⁴⁾ è:

$$(1.6) \quad \frac{d^2 \sigma}{d\Omega_q dq_0} = q^2 \int \rho(p_1) \frac{1}{q} \frac{d^2 G(p_1)}{dp_1 dq_0} d\vec{p}_1$$

4.

dove:

$$(1.7) \quad \frac{1}{q} \frac{d^2\sigma(p_1)}{d\Omega_q dq_0} = \frac{(2\pi)^2}{(p_1, k)} \int \frac{d\vec{p}_2}{p_{20}} \delta^4(p_1 + k - p_2 - q) |\langle q | \vec{p}_2 / \tau | p_1, k \rangle|^2$$

è la sezione d'urto differenziale del processo (1-1) nel caso che il protone sia nello stato libero $|p_1\rangle$.

Nell'ipotesi usuale che il nucleone bersaglio sia non relativistico⁽⁵⁾ la (1-6) diventa⁽⁶⁾:

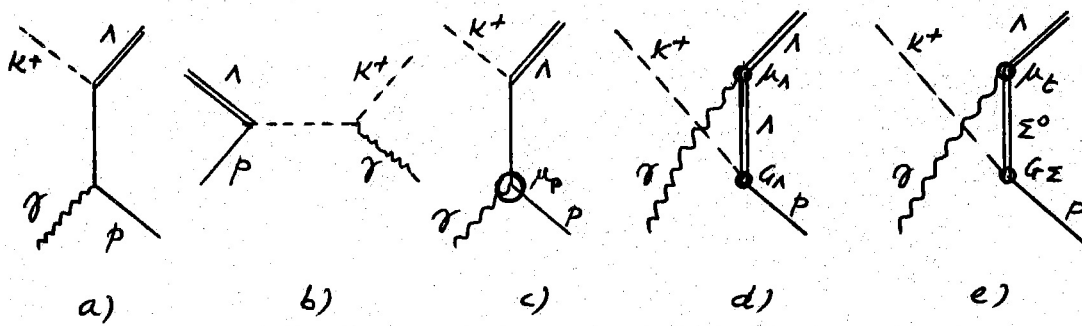
$$(1.8) \quad \frac{d^2\sigma}{d\Omega_q dq_0} = \frac{(2\pi)^2}{M_p k} Z_q \int p(p_1) d\vec{p}_1 \int \delta(\vec{p}_1 + \vec{k} - \vec{p}_2 - \vec{q}) \delta(M_p - E + k - p_{20} - q_0) \langle \vec{p}_2 q | \tau | p, k \rangle^2 \frac{d\vec{p}_2}{p_{20}}$$

2) - ELEMENTO DI MATRICE DI FOTOPRODUZIONE

Il calcolo dell'elemento di matrice "libero" M_{if} è fatto nelle seguenti ipotesi^(8, 9, 10, 11):

- 1) i nucleoni e gli iperoni sono spinori, con momento magnetico anomalo trattabile secondo il metodo di Pauli;
 - 2) il K^+ è pseudoscalare e ha spin nullo;
 - 3) il vertice $K^+ p \Lambda$ è del tipo di Yukawa: $H_I = G_\Lambda \cdot \bar{\psi}_\Lambda \cdot \gamma_5 \cdot \gamma_p \gamma_{K^+}$;
 - 4) si considerano solo i termini di Born: diagrammi a), b), c), d) ed e)⁽¹²⁾;
- si ha:

$$M_{if} = M_{if}^{(a)} + M_{if}^{(b)} + M_{if}^{(c)} + M_{if}^{(d)} + M_{if}^{(e)}$$



da cui:

$$(2.1) \quad M_{if} = -ieG_\Lambda \frac{(M_p M_\Lambda)^{1/2}}{(p_{30} p_{20} + 2k_0 2q_0)} \bar{w}(p_2) \gamma_5 \left[\frac{\mu_\Lambda \gamma_\mu + 2(p_1, \epsilon)}{2(p_1, k)} - \frac{(q, \epsilon)}{(q, k)} + \right. \\ \left. + \frac{\mu_p}{M_p} \frac{(M_p K \epsilon - (\mu_\Lambda, \epsilon) K + (p_1, k) \epsilon)}{2(p_1, k)} - \frac{\mu_\Lambda}{M_\Lambda} \frac{(p_2 K) \epsilon - (p_2 \epsilon) K}{2(p_2, k)} \right] \bar{w}(p_1)$$

con $\not{p} = a_\mu \gamma^\mu$; ε = vettore di polarizzazione del fotone.

μ_p è il momento magnetico anomalo del protone ($\mu_p \approx 1,8$).

μ_A è il momento magnetico del A :

$$(2.2) \quad \mu_A = \mu'_A + \frac{G_\Sigma}{G_A} \mu_\epsilon \quad (\text{la 2.2 è valida nell'ipotesi } M_\Sigma = M_A).$$

μ'_A è il momento magnetico anomalo del A (diagramma d)); da misure sperimentali $\mu'_A = 1,4 \pm 0,5$ (13, 14); secondo la "SU₃-invariance" $\mu'_A = 1/2 \mu_n$ (15) (μ_n è il momento magnetico anomalo del neutrone); μ_t è il momento di transizione (Σ^0, A) (diagramma e)); da misure sperimentali si ha evidenza per un valore $\mu_t \approx 1,2$ (8, 16); secondo la SU₃-invarian_ce: $\mu_t = \frac{\sqrt{3}}{2} \mu_n$.

Nell'ipotesi di simmetria globale Hatsukade⁽¹⁷⁾ trova:

$$\mu_t = 0,64 \frac{1}{2} (\mu_p - \mu_n) \approx -\frac{1}{2} \mu_n; \quad G_\Sigma = G_A$$

Dalla (2.2) segue:

$$(2.2') \quad \mu_A \approx \frac{1}{2} \mu_n - \frac{1}{2} \mu_n = 0$$

Lo stesso risultato si ottiene come conseguenza della "SU₃-invariance". Infatti (18):

$$G_A = -\frac{\sqrt{3}}{3} G_{\pi NN} (1 + 2\alpha_p); \quad G_\Sigma = G_{\pi NN} (1 - 2\alpha_p); \quad \alpha_p = 1/4$$

da cui:

$$\frac{G_\Sigma}{G_A} = -\frac{\sqrt{3}}{3} \quad \text{e dalla (2.2)}$$

$$(2.2'') \quad \mu_A = \frac{1}{2} \mu_n - \frac{\sqrt{3}}{3} \cdot \frac{\sqrt{3}}{2} \mu_n = 0$$

Quindi in ragione delle (2.2') e (2.2''), ottenute con procedimenti completamente diversi, si può trascurare il contributo dei diagrammi d) ed e).

Prendendo il modulo quadrato di (2.1), sommando su tutti gli stati di spin finali e mediando su quelli iniziali, mediando sulle possibili polarizzazioni dei γ incidenti si ha, dopo alcuni calcoli:

$$(2.3) \quad \sum_{S_1 S_2 \epsilon} |M_{if}|^2 = \frac{e^2 G_A^2}{16(p_{10} p_{20} K_0 q_0)} \left\{ 1 - \frac{q_0 - q \cos \theta_q}{M_p} - \frac{[M_K^2 - (M_A - M_p)^2]}{2} \frac{q^2 \sin^2 \theta_q}{K^2 (q_0 - q \cos \theta_q)^2} - \right. \\ \left. - \mu_p \left(\frac{M_A}{M_p} - 1 \right) - \mu_p \frac{(q_0 - q \cos \theta_q)}{M_p} - \frac{\mu_p^2}{2M_p^2} \left[\frac{M_K^2 - (M_A - M_p)^2}{2} - K (q_0 - q \cos \theta_q) \right] \right\}$$

essendo:

$$(2.4) \quad \langle q p_2 / T / p_1 k \rangle^2 = T(q, \theta_q, k) = (p_{20} q_0 p_{10} K_0) \left[\sum_{S_1 S_2 \epsilon} |M_{if}|^2 \right].$$

6.

3) - DENSITA' DEI MOMENTI DEI PROTONI NEL NUCLEO.

Le forme più usate per la densità dei momenti interni (valide per elementi non leggeri) sono:

$$(3.1) \quad g_F(p_1) = \begin{cases} \frac{3}{4\pi} \frac{1}{p_F^3} & p_1 \leq p_F \\ 0 & p_1 > p_F \end{cases} \quad \text{distribuzione di Fermi} \quad (19)$$

$$(3.2) \quad g_G(p_1) = \frac{\alpha^{-3/2}}{\pi^{3/2}} e^{-\alpha p_1^2} \quad \text{distribuzione di Gauss.} \quad (19)$$

Dalla (1.8) eliminando le δ e osservando che $T(q, \theta_q, k)$ è indipendente da p_1 si ha:

$$(3.3) \quad \frac{d^2\sigma}{dR_q dq_0} = \frac{(2\pi)^{-1} q}{M_p K} \frac{T(q, \theta_q, k)}{a} \int_{p_{1min}}^{p_{1max}} g(p_1) p_1 dp_1$$

sostituendo a $g(p_1)$ le (3.1) e (3.2) si ha:

$$(3.4) \quad \frac{d^2\sigma_F}{dR_q dq_0} = \frac{3q Z T(q, \theta_q, k)}{(4\pi)^2 M_p K p_F^3 a} [p_{1max}^2 - p_{1min}^2]$$

$$(3.5) \quad \frac{d^2\sigma_G}{dR_q dq_0} = \frac{9 Z T(q, \theta_q, k)}{(2\pi)^2 M_p K a} \left(\frac{d}{\pi} \right)^{1/2} \left[e^{-dp_{1min}^2} - e^{-dp_{1max}^2} \right]$$

essendo

$$a = |\vec{k} - \vec{q}|$$

$$b = (M_p - \Sigma + k - q_0 + M_\Lambda)^{1/2} (M_p - \Sigma + k - q_0 - M_\Lambda)^{1/2}$$

$$p_{1min} = |b - a|$$

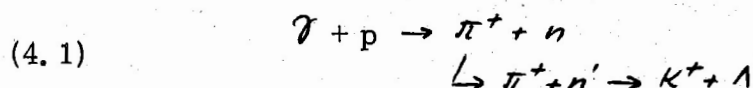
$$p_{1max} = \text{Max} \{ p_F, b + a \} \quad \text{per la distribuzione alla Fermi}$$

$$" = b + a \quad \text{per la distribuzione di Gauss.}$$

4) - INTERAZIONI SECONDARIE

I più importanti effetti di distorsione nella fotoproduzione di K^+ da nucleo sono dovuti:

1) (20, 21, 22) alla produzione di K^+ via π^+ attraverso il processo



2) all'interazione del K^+ uscente con il nucleo (23, 24, 25, 26, 27).

Si può facilmente calcolare il contributo della sezione d'urto differenziale dovuto al processo 1): sia N_{K^+} il numero di K^+ emessi con impulso q e con angolo θ_q per unità di tempo; n il numero di nuclei per cm^3 del bersaglio; s lo spessore del bersaglio; N_γ il numero di fotoni di energia k che attraversano il bersaglio per unità di tempo. Vale la relazione

$$(4.2) \quad N_{K^+} = n s N_\gamma \frac{d^2 G}{d\Omega_q dq_0} + n^2 s^2 N_\gamma / d\Omega_{\pi^+} d\Omega_{\pi^+} \frac{d^2 \sigma_{\pi^+}}{dq_0 \Omega_{\pi^+} d\Omega_{\pi^+}} \frac{d^2 \sigma_{K^+ \pi^+}}{d\Omega_q dq_0}$$

dove $\frac{d^2 \sigma_{\pi^+}}{dq_0 \Omega_{\pi^+} d\Omega_{\pi^+}}$ è la sezione d'urto differenziale di fotoproduzione di π^+ di impulso q_{π^+} all'angolo θ_{π^+} da nucleo; $\frac{d^2 \sigma_{K^+ \pi^+}}{d\Omega_q dq_0}$ è la sezione d'urto differenziale del processo $\pi^+ + n \rightarrow K^+ + \Lambda$.

Il 1° termine del 2° membro della (4.2) è proporzionale a Z mentre il 2° a $Z \times N \sim Z^2$.

Baumel, Berley e Collins^(20, 21, 22), studiando sperimentalmente l'andamento della sezione d'urto col numero atomico del nucleo bersaglio a vevano trovato che questa variava con Z^2 , soprattutto per nuclei pesanti e lo spiegarono con l'ipotesi che nel r.h.s. della (4.2) il 2° termine predominasse sul primo. Tuttavia noi abbiamo, calcolato tale termine, anche se con una stima grossolana, e abbiamo trovato che è sempre inferiore all'1% della sezione d'urto totale, anche per gli elementi pesanti.

Le interazioni che il K^+ subisce all'interno del nucleo sono di due tipi: coulombiano e nucleare.

L'interazione coulombiana dipende dalla carica del mesone e dal numero atomico del nucleo. Il fattore di distorsione coulombiano della sezione d'urto vale⁽⁶⁾:

$$(4.3) \quad C(q) = \frac{Z e^2 M_K / q}{e^{2\pi Z e^2 M_K / q} - 1}$$

Nel range di momenti dei K^+ tra 200 e 500 MeV/c tale fattore è ~ 1 .

Le correzioni alla sezione d'urto dovute alla interazione nucleare delle particelle iniziali e finali del processo (1.1) possono essere valutate introducendo nell'elemento di matrice (1.2) un effetto di distorsione delle funzioni d'onda delle particelle iniziali e finali dovuto ad un potenziale ottico⁽²³⁾.

Tali funzioni d'onda non sono più onde piane ma possono scriversi come prodotto di un'onda piana per un fattore di distorsione legato al potenziale ottico.

$$(4.4) \quad \psi_{\vec{p}}(\vec{r}, t) = D(\vec{r}, \vec{p}) e^{i(\vec{p} \cdot \vec{r} - p_0 t)}$$

Il fattore di distorsione $D(\vec{r}, \vec{p})$ si può scrivere come:

$$(4.5) \quad D(\vec{r}, \vec{p}) = d(\vec{r}, \vec{p}) e^{i \delta(\vec{r}, \vec{p})}$$

8.

dove $d(\vec{r}, \vec{p})$ è una funzione reale legata alla parte immaginaria (distorsione in ampiezza) e $\delta(\vec{r}, \vec{p})$ alla parte reale del potenziale ottico (distorsione in fase).

Per quanto riguarda l'interazione $K^+ - nucleo$ ($K^+ + N \rightarrow K^+ + N$, $K^+ + n \rightarrow K^0 + p$) (trascuriamo le interazioni dovute alle altre particelle interessate: $\gamma + nucleo$, $p + nucleo$, $\Lambda + nucleo$), la distorsione della funzione d'onda porta a una localizzazione del mesone all'interno del nucleo, e quindi, per il principio di indeterminazione ad un ulteriore slargamento della distribuzione in impulsi dello stesso (oltre a quello causato dalla distribuzione interna degli impulsi dei protoni nel nucleo).

Di conseguenza la distribuzione degli impulsi dei protoni nel nucleo, quale si ottiene dalla distribuzione spettrale e angolare dei K^+ uscenti, risente di tale distorsione.

Torniamo, infatti, alla (1.2'), che dà l'elemento di matrice di fotoproduzione di K^+ da nucleo se si suppone il nucleo trasparente (ossia le funzioni d'onda del γ , del Λ e del K^+ si considerano onde piane). In generale un elemento di matrice di fotoproduzione, che tenga conto anche degli effetti di interazione delle particelle iniziali e finali con il nucleo si scrive:

$$(4.6) \quad \begin{aligned} & \langle \psi_k(\vec{r}_1, t) \psi_\lambda(\vec{r}_2, t) / \tau(\vec{r}_1 - \vec{r}_2) / \psi_\gamma(\vec{r}_1, t) \psi_p(\vec{r}_2, t) \rangle = \\ & = \int e^{-i(\vec{p}_2 + \vec{q} - \vec{k}) \cdot \vec{r}_2} D_K^*(\vec{r}_2, \vec{q}) D_\lambda^*(\vec{r}_2, \vec{p}_2) D_\gamma(\vec{r}_2, \vec{k}) \psi_p(\vec{r}_2) \cdot \\ & \cdot 2\pi \delta(p_{10} + q_0 - M_p - E - k) d\vec{r}_2 \int e^{i\vec{q}(\vec{r}_1 - \vec{r}_2)} \tau(\vec{r}_1 - \vec{r}_2) e^{i\vec{k}(\vec{r}_1 - \vec{r}_2)} d(\vec{r}_1 - \vec{r}_2) \end{aligned}$$

dove si è fatto uso della (4.4) e dell'ipotesi che le $D(\vec{r})$ siano funzioni "smooth", di r per cui $D(\vec{r}_1) \sim D(\vec{r}_2)$.

E' facile verificare che $\int e^{i\vec{q}(\vec{r}_1 - \vec{r}_2)} \tau(\vec{r}_1 - \vec{r}_2) e^{i\vec{k}(\vec{r}_1 - \vec{r}_2)} d(\vec{r}_1 - \vec{r}_2)$ e $\langle \psi_q / \tau / \psi, k \rangle$ coincidono.

L'effetto delle interazioni nucleari delle particelle che partecipano alla reazione di fotoproduzione sull'elemento di matrice del processo stesso è, quindi, una distorsione della funzione d'onda del protone bersaglio:

$$(4.7) \quad \phi_p(\vec{p}_1, \vec{k}, \vec{q}; \vec{r}) = D_K^*(\vec{r}; \vec{q}) \times D_\lambda^*(\vec{r}, \vec{p}_2) \times D_\gamma(\vec{r}; \vec{k}) \times \psi_p(\vec{r})$$

se le particelle non interagiscono con il nucleo

$$(4.8) \quad D_K^*(\vec{r}, \vec{q}) = D_\lambda^*(\vec{r}, \vec{p}_2) = D_\gamma(\vec{r}, \vec{k}) = 1$$

$$(4.9) \quad \phi_p(\vec{r}) = \psi_p(\vec{r})$$

e si ottiene la (1.2').

Noi considereremo solo l'effetto di distorsione dovuto alla interazione del K^+ con il nucleo; trascureremo perciò le interazioni con il nucleo

del fotone incidente e dell'iperone uscente. Nel nostro caso quindi avremo:

$$(4.10) \quad D_A^X(\vec{r}, \vec{p}_2) = D_J(\vec{r}, \vec{K}) = 1$$

$$(4.11) \quad D_K^*(\vec{r}, \vec{q}) = e^{-i \frac{q_0}{q} \int_{Z_0}^{\infty} V_K(\vec{r}) dz}$$

Z è la direzione del mesone, mentre $V_K(\vec{r})$ è il potenziale con cui secondo il modello ottico si rappresenta l'interazione $K^+ -$ nucleo.

Nello spazio degli impulsi la (4.7) diventa:

$$(4.12) \quad \tilde{\phi}_p(\vec{p}_1, q) = \frac{1}{(2\pi)^3} \int d\vec{r} \tilde{\phi}_p(\vec{r}, q) e^{-i \vec{p}_1 \cdot \vec{r}} = \langle \psi_p | D_K^* \psi_p \rangle$$

Noi faremo l'ipotesi che $D_K^*(\vec{r}; q)$ sia una funzione simmetrica rispetto alla direzione del mesone uscente (il che è praticamente lecito in tutti i casi). Di conseguenza $\tilde{\phi}_p(\vec{p}_1, q)$ dipenderà solo dalla grandezza degli impulsi del protone bersaglio e del K^+ e dalla relativa orientazione, ossia:

$$(4.13) \quad \tilde{\phi}_p(\vec{p}_1, q) = \tilde{\phi}(p_1, q, \cos \theta_{p_1 q})^{(22)}$$

In perfetta analogia con quello che è stato fatto nel § 1, definiamo la nuova "densità distorta" dei momenti interni del protone nel nucleo come:

$$(4.14) \quad S_D(p_1, \omega \vartheta_{p_1 q}, q) = \frac{1}{z} |\tilde{\phi}(p_1, \omega \vartheta_{p_1 q}, q)|^2 = \frac{1}{z} \sum_{i=1}^2 |a_i|^2 \langle \psi_i | D_K^* \psi_i \rangle / |^2$$

Dalla (4.12) si ottiene

$$(4.15) \quad \tilde{\phi}_p(\vec{r}, q) = \int d\vec{p}_1 \tilde{\phi}_p(\vec{p}_1, q) e^{i \vec{p}_1 \cdot \vec{r}}$$

Sostituendo la (4.15) nella (4.6) e prendendo il modulo quadro di quest'ultima si ottiene:

$$(4.16) \quad \begin{aligned} & |\langle \psi_k(\vec{r}_1, t) \psi_1(\vec{r}_2, t) | T(\vec{r}_1 - \vec{r}_2) | \psi_2(\vec{r}_1, t) \psi_p(\vec{r}_2, t) \rangle|^2 - \\ & = (2\pi)^{-3} \delta(q) z \int d\vec{p}_1 \delta^3(\vec{p}_2 + \vec{q} - \vec{p}_1 - \vec{K}) \delta(p_{20} + q_0 - M + E - K) S_D(p_1, \omega \vartheta_{p_1 q}, q) T(q, \vartheta_{p_1 q}, k). \end{aligned}$$

5) - SEZIONE D'URTO E DENSITÀ "DISTORTA" DEI MOMENTI DEI PROTONI ALL'INTERNO DEL NUCLEO.

La sezione d'urto differenziale di fotoproduzione di K^+ da nucleo, corretta dagli effetti di distorsione coulombiana e nucleare è data da:

$$(5.1) \quad \frac{d^2 \sigma}{d p_q dq_0} = g C(q) \int d\vec{p}_1 z S_D(p_1, \omega \vartheta_{p_1 q}, q) \frac{1}{g} \frac{d^2 \sigma(p_1)}{d p_q dq_0}$$

Nel range di impulsi del mesone che noi considereremo si può prendere con sufficiente approssimazione: $C(q) = 1$. Sostituendo nella (5.1) la (1.7) ed eli-

10.

minando le δ si ha:

$$(5.2) \quad \frac{d^2\sigma^c}{d\Omega_q dq_0} = \frac{(2\pi)^{-1} q z}{M_p k a} T(q, v_g^f, k) \int_{b-a}^{b+a} S_D(p_1, \cos \theta_{p_1 q}^*, q) p_1 dp_1$$

dove $\cos \theta_{p_1 q}^*$ è il valore di $\cos \theta_{p_1 q}$ corrispondente al valore

$$(5.3) \quad \cos \theta_{p_1}^* = \frac{(M_p + k - \epsilon - q_0)^2 - p_1^2 - a^2 - M_\Lambda^2}{2 p_1 q} \quad \text{di } \cos \theta_{p_1}$$

Ne segue che per quanto interessa la sezione d'urto differenziale S_D è funzione di p_1 e q . Viceversa, da misure sperimentali della sezione d'urto (5.2) si riesce a conoscere la S_D solo sulla superficie (5.3) dello spazio delle fasi ove essa è definita. Infatti nel caso $b/a \ll 1$, ossia

$$\frac{[(M_p - \epsilon + k - q_0)^2 - M_\Lambda^2]^{1/2}}{|k - q|} \ll 1$$

la (5.2) diventa (applicando il teorema della media):

$$(5.4) \quad \frac{d^2\sigma^c}{d\Omega_q dq_0} \approx \frac{q z}{2\pi M_p k} [S_D(p_1, \cos \theta_{p_1 q}^*, q)]_{p_1=a} 2\pi T(q, v_g^f, k)$$

da qui:

$$(5.5) \quad [S_D(p_1, \cos \theta_{p_1 q}^*, q)]_{p_1=a} = \frac{\pi}{q} \frac{d^2\sigma^c}{d\Omega_q dq_0} \frac{M_p k}{2\pi} \frac{1}{T(q, v_g^f, k)}$$

L'equazione (5.5) indica chiaramente che la densità dei momenti dei nucleoni all'interno del nucleo quale si ottiene dallo studio del processo di fotoproduzione di K^+ da nucleo, non dipende solo dall'impulso dei nucleoni ma anche dall'impulso e dalla direzione di emissione del K^+ . Perciò sostituendo nel 2° membro della (5.5) la sezione d'urto differenziale sperimentale dei K^+ emessi, possiamo ottenere una stima dell'errore compiuto usando densità di distribuzione di tipo fermiano o gaussiano (funzioni solo dallo impulso del nucleone).

6) - RISULTATI

Facendo uso della (4.14) e (5.2) abbiamo calcolato numericamente la sezione d'urto differenziale di fotoproduzione dei K^+ emessi da 0° a 35° dalla direzione del fascio γ incidente con impulso compreso tra 200 e 600 MeV/c per fotoni incidenti monoenergetici da 950 MeV nel caso che il potenziale del mesone sia una buca:

$$V_K(\vec{r}) = \begin{cases} -(V + \epsilon_W) & r \leq R \\ 0 & r > R \end{cases}$$

dove $R = r_0 A^{1/3} = 1.0 \times 10^{-13} A^{1/3}$ cm è il raggio del nucleo

$V = 15$ MeV è la parte reale e $W = 7$ MeV è la parte immaginaria del potenziale ottico e la funzione d'onda del protone sia costante all'interno del nucleo e nulla fuori

$$\psi_p(\vec{r}) = \begin{cases} z^{\frac{1}{2}} \left[\frac{3}{4\pi} \frac{1}{R^3} \right]^{\frac{1}{2}} & r \leq R \\ 0 & r > R \end{cases}$$

I dati relativi alla parte reale del potenziale ottico sono stati dedotti dall'analisi dello scattering elastico K^+ -nucleo; quelli relativi alla parte immaginaria dall'analisi dello scattering anelastico K^+ -nucleo; mentre il raggio del nucleo è stato dedotto dall'analisi dello scattering e^- -nucleo^(29,30). I calcoli sono stati eseguiti usando come bersaglio targhette di carbonio (C^{12}).

Nelle Figg. 1, 2 e 3 sono riportate rispettivamente le distribuzioni, normalizzate⁽²⁹⁾, spettrale e angolare, dei K^+ emessi nei due casi in cui si usa:

- a) un elemento di matrice di fotoproduzione isotropo e indipendente dall'energia, come nell'articolo di Block ($M^2 = \text{cost}$);
- b) l'elemento di matrice di fotoproduzione (2. 4) ($M^2 = \text{var}$).

In ciascuna figura, poi, sono tracciate le curve per le possibili distribuzioni dei momenti interni dei nucleoni: (3. 1) (F); (3. 2) (G) e (4. 14) (O).

Dal confronto tra la distribuzione spettrale calcolata nell'ipotesi di "impulse approximation" e corretta dagli effetti della interazione $K^+ - \text{nucleo}$ e quella statistica, in cui si usa un elemento di matrice fenomenologico ($M^2 = \text{cost}$) e una densità di distribuzione dei momenti dei nucleoni di tipo fermiano o gaussiano (Figg. 1, 2), si deduce che:

- 1) il massimo della $\frac{d^2\sigma}{d\Omega_q d\Omega_g}$ si trova a valori di impulso diversi nei due modelli. Tale spostamento è più accentuato verso i piccoli angoli;
- 2) la forma della curva è molto più allargata nel nostro modello; allargamento più accentuato a grandi angoli; ad esempio il rapporto $R_s = \frac{\sigma_{400}}{\sigma_{550}} / \frac{\sigma_{400}}{\sigma_{400}}$ per $\theta = 30^\circ$ vale:

$$R_s = \begin{cases} 0,85 & \text{nel modello statistico} \\ 0,53 & \text{nel nostro modello.} \end{cases}$$

Si deduce così che una misura di K^+ emessi a 30° dalla direzione del fascio γ incidente, con impulsi compresi fra 300 e 600 MeV/c può decidere con abbondante precisione della validità del nostro modello rispetto a quelli statistici finora usati.

Passando all'esame della distribuzione angolare (Fig. 3) si nota che l'anisotropia tra i K^+ emessi a grandi angoli e quelli emessi a piccoli angoli è notevolmente diversa nei due modelli, ad esempio per K^+ da 300 MeV/c il rapporto $R_a = \frac{\sigma(15^\circ)}{\sigma(30^\circ)}$ vale:

12.

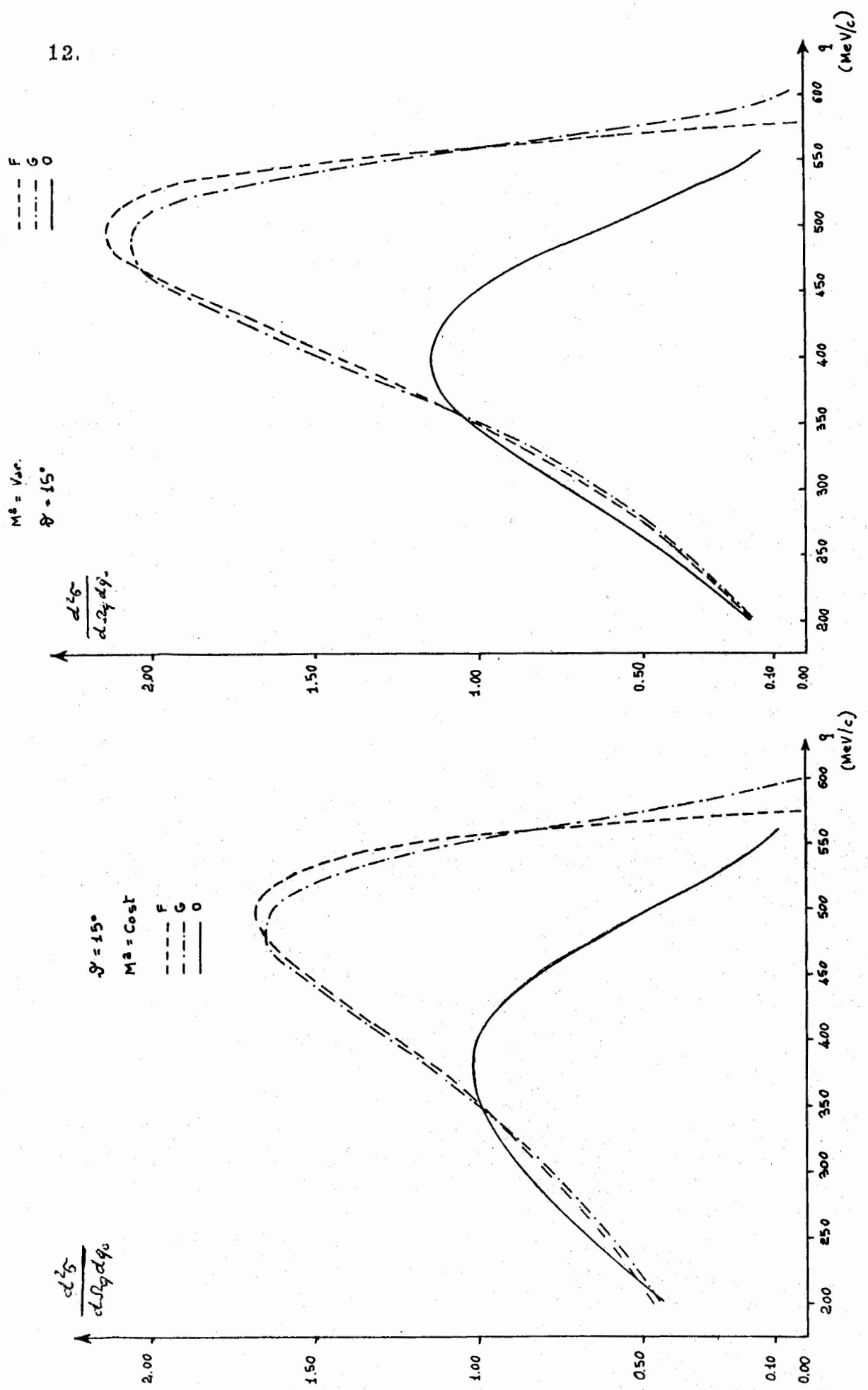
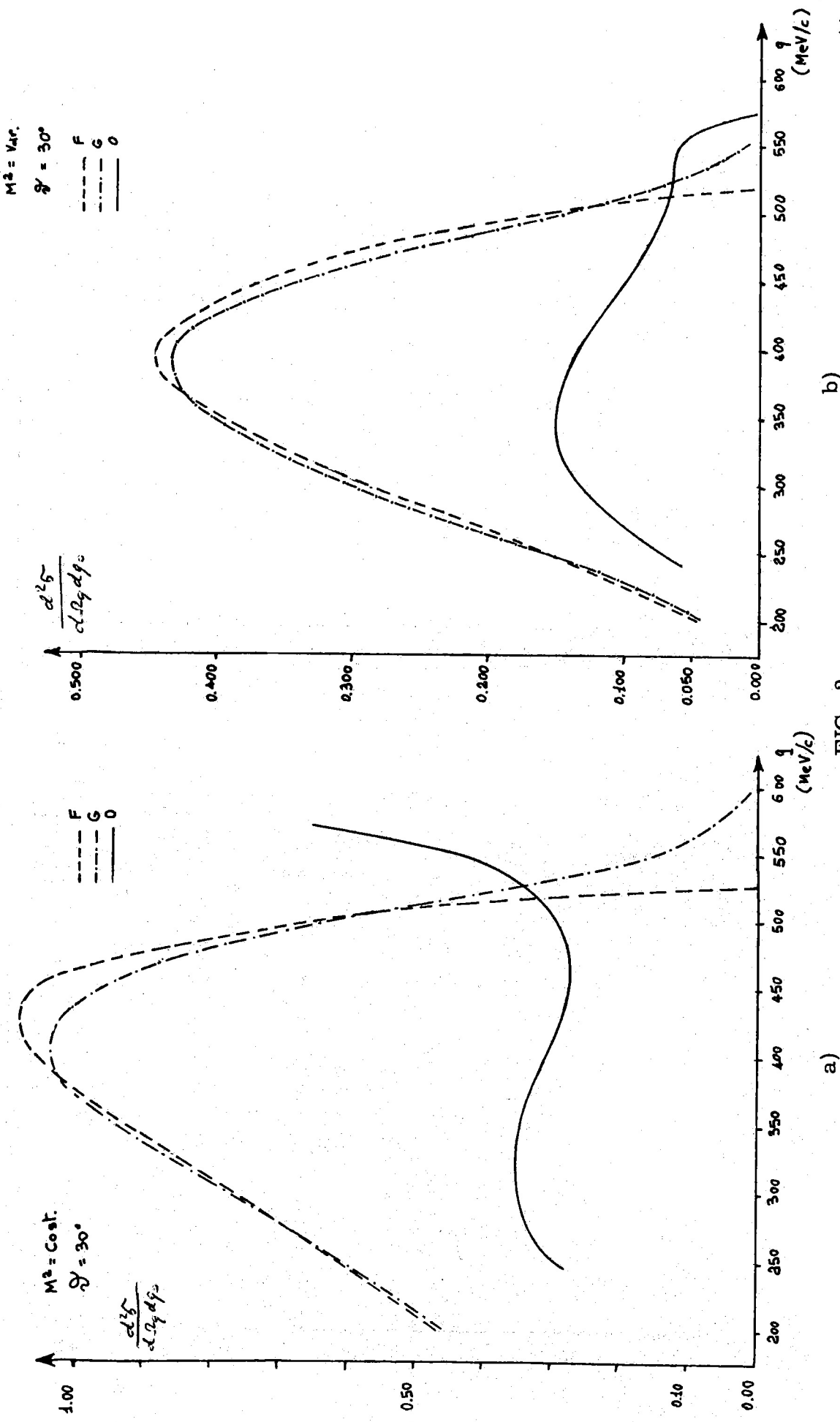


FIG. 1

13.



14.

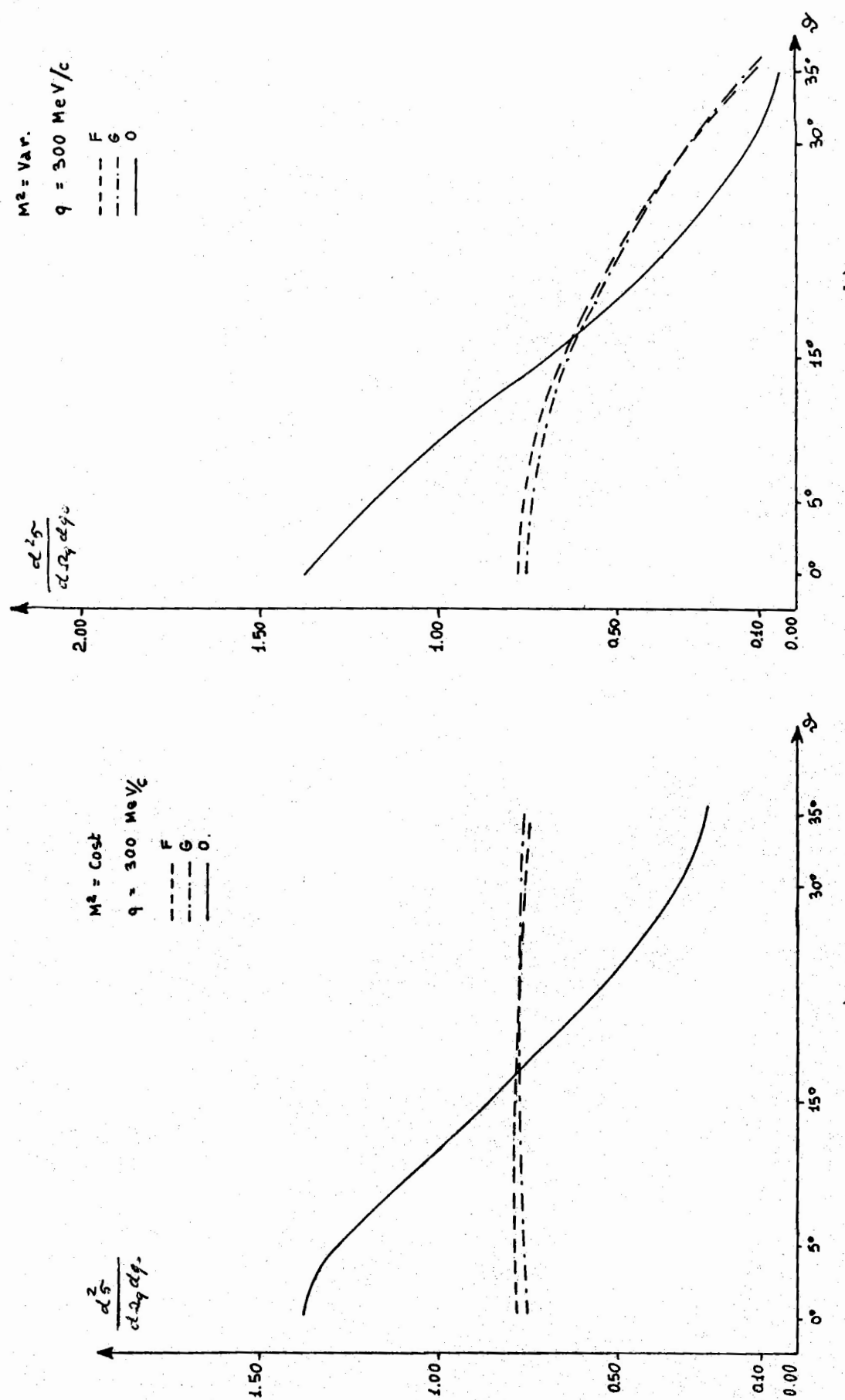


FIG. 3

a)

b)

$$R_a = \begin{cases} \sim 0 & \text{nel modello statistico} \\ 0,58 & \text{nel nostro modello} \end{cases}$$

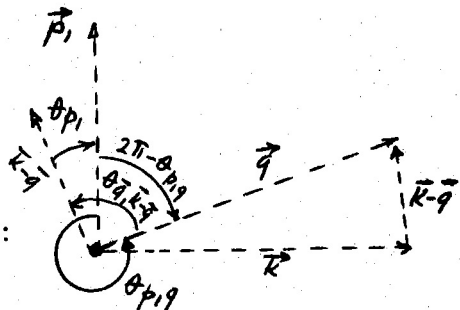
Sempre dall'esame della Fig. 3 si vede che una misura di K^+ e- messi ad angoli relativamente piccoli ($5^\circ - 6^\circ$) sarebbe molto utile ai fini di un ulteriore conferma del nostro modello.

Un particolare ringraziamento ai Prff. R. Gatto e M. Grilli per l'interesse da Loro mostrato per questo lavoro e al Sig. F. Bocci per l'aiuto offerto nei calcoli numerici.

BIBLIOGRAFIA E NOTE

- (1) - Block and Harth, Phys. Rev. 100, 324 (1955).
- (2) - Chew and Goldberger, Phys. Rev. 84, 778 (1952).
- (3) - Lax and Feshbach, Phys. Rev. 81, 189 (1951).
- (4) - Tutte le grandezze fisiche sono calcolate nel sistema del laboratorio.
- (5) - Tale ipotesi non sarebbe valida quando si integra la (1.6) per grandi valori di p_1 . Ma occorre tener presente che per tali valori la densità $\rho(p_1)$ di protoni che hanno tale impulso è così bassa che l'errore che si commette nel considerarli non relativistici è molto piccolo.
- (6) - Marshak and Meson, Physics pagg. 89-90; pagg. 83-84; pag. 97.
- (7) - $M_p - \epsilon$ è l'energia media di un protone legato entro il nucleo. ϵ è l'energia di legame del protone (~ 8 MeV).
- (8) - Capps, Phys. Rev. 114, 920 (1959).
- (9) - Morawsik, Phys. Rev. Letters 2, 352 (1959).
- (10) - Kawaguchi and Morawsik, Phys. Rev. 107, 563 (1957).
- (11) - Fujii and Marshak, Phys. Rev. 107, 570 (1957).
- (12) - Kaplon, Phys. Rev. 83, 712 (1951).
- (13) - Anderson, Phys. Rev. Letters 13, 167 (1964).
- (14) - Cool et al., Phys. Rev. 127, 2223 (1962).
- (15) - Macfarlane and Sudarshan, Rep. NYO 10277, Rochester - New York.
- (16) - Dreitlen and Lee, Phys. Rev. 124, 1274 (1961).
- (17) - Hatsukade, Phys. Rev. 132, 1301 (1963).
- (18) - De-Swart, Rev. Mod. Phys. 35, 916 (1963).
- (19) - $P_F = 200$ MeV/c è l'impulso di Fermi corrispondente all'energia cinetica di cutoff $T_F = 22$ MeV; $\alpha = 4.15 \times 10^{-5}$ MeV/c $^{-2}$ è scelto in modo che l'energia cinetica del nucleone dentro il nucleo sia $T = 19,3$ MeV⁽⁶⁾.
- (20) - Samuel, Phys. Rev. 108, 1322 (1957).
- (21) - Berley and Collins, Phys. Rev. 112, 614 (1958).
- (22) - Fowler, Phys. Rev. 106, 829 (1957).
- (23) - Benioff, Phys. Rev. 128, 740 (1962).
- (24) - Squires, Nuclear Phys. 6, 504 (1958).
- (25) - Baker and McCarthy, Phys. Rev. 120, 254 (1961).
- (26) - McCarthy, Phys. Rev. 122, 578 (1961).
- (27) - McClelland, Phys. Rev. 123, 1423 (1961).
- (28) - Il significato dei simboli usati per indicare gli angoli tra le varie direzioni

zioni sono riportati nella figura a lato



Sempre dalla figura è facile verificare che:

$$\theta_{p,q} = \theta_{p_1} + \theta_{\bar{q},\bar{K}-\bar{q}} + 2\pi.$$

- (29) - Melkanoff et al., Phys. Rev. Letters 5, 108. (1960).
- (30) - Sechi and Zorn, Phys. Rev. 120, 1898 (1961).
- (31) - La costante di normalizzazione è stata scelta nei vari casi in modo che per $\theta = 15^\circ$ e $q = 350$ MeV/c sia:

$$\frac{d^2\sigma}{ds_q dq_0} = 1 \text{ mb/sterad.}$$